


# Aidez-nous à observer la haute atmosphère martienne !

A photograph showing the reddish-orange planet Mars rising behind the dark, cratered horizon of the Moon. The scene is set against the blackness of space. The Moon's surface is visible in the foreground, showing numerous craters and a rugged texture. Mars is positioned centrally, appearing as a bright, circular disk just above the Moon's horizon.

J. Lilensten, JL Dauvergne, E. Beaudoin, C. Pellier, M. Delcroix, M. Vincendon

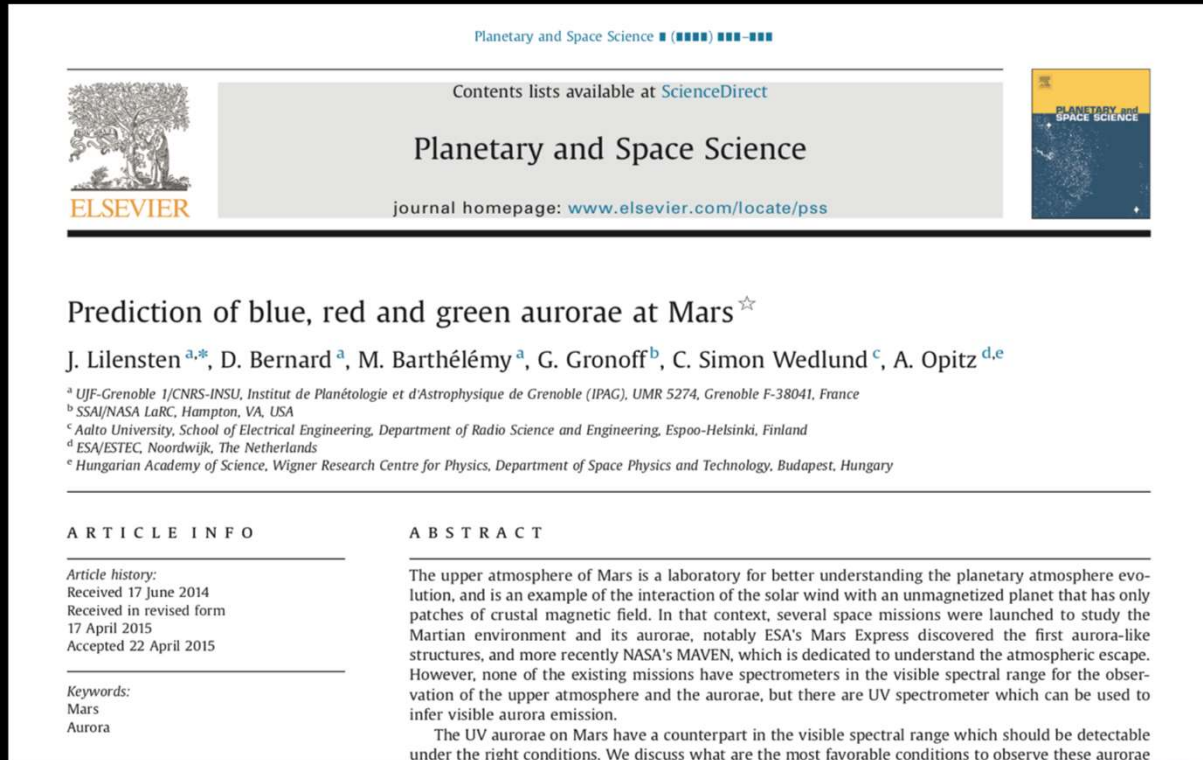
Mars rising behind the Moon, pictured by Damian Peach

# Les aurores martiennes ont été découvertes en 2005





... mais dans l'UV. Ce qui a fait dire que ce ne sont pas des aurores à proprement parler

# Cependant, par des expériences de labo et de la modélisation, j'ai pu faire cette prediction en 2015



Planetary and Space Science ■ (■■■■) ■■■-■■■

Contents lists available at [ScienceDirect](#)

 **Planetary and Space Science** 

journal homepage: [www.elsevier.com/locate/pss](http://www.elsevier.com/locate/pss)

---

## Prediction of blue, red and green aurorae at Mars<sup>☆</sup>

J. Lilensten<sup>a,\*</sup>, D. Bernard<sup>a</sup>, M. Barthélémy<sup>a</sup>, G. Gronoff<sup>b</sup>, C. Simon Wedlund<sup>c</sup>, A. Opitz<sup>d,e</sup>

<sup>a</sup> UJF-Grenoble 1/CNRS-INSU, Institut de Planétologie et d'Astrophysique de Grenoble (IPAG), UMR 5274, Grenoble F-38041, France  
<sup>b</sup> SSAI/NASA LaRC, Hampton, VA, USA  
<sup>c</sup> Aalto University, School of Electrical Engineering, Department of Radio Science and Engineering, Espoo-Helsinki, Finland  
<sup>d</sup> ESA/ESTEC, Noordwijk, The Netherlands  
<sup>e</sup> Hungarian Academy of Science, Wigner Research Centre for Physics, Department of Space Physics and Technology, Budapest, Hungary

---

<b>ARTICLE INFO</b>	<b>ABSTRACT</b>
<p><i>Article history:</i> Received 17 June 2014 Received in revised form 17 April 2015 Accepted 22 April 2015</p> <p><i>Keywords:</i> Mars Aurora</p>	<p>The upper atmosphere of Mars is a laboratory for better understanding the planetary atmosphere evolution, and is an example of the interaction of the solar wind with an unmagnetized planet that has only patches of crustal magnetic field. In that context, several space missions were launched to study the Martian environment and its aurorae, notably ESA's Mars Express discovered the first aurora-like structures, and more recently NASA's MAVEN, which is dedicated to understand the atmospheric escape. However, none of the existing missions have spectrometers in the visible spectral range for the observation of the upper atmosphere and the aurorae, but there are UV spectrometer which can be used to infer visible aurora emission.</p> <p>The UV aurorae on Mars have a counterpart in the visible spectral range which should be detectable under the right conditions. We discuss what are the most favorable conditions to observe these aurorae</p>

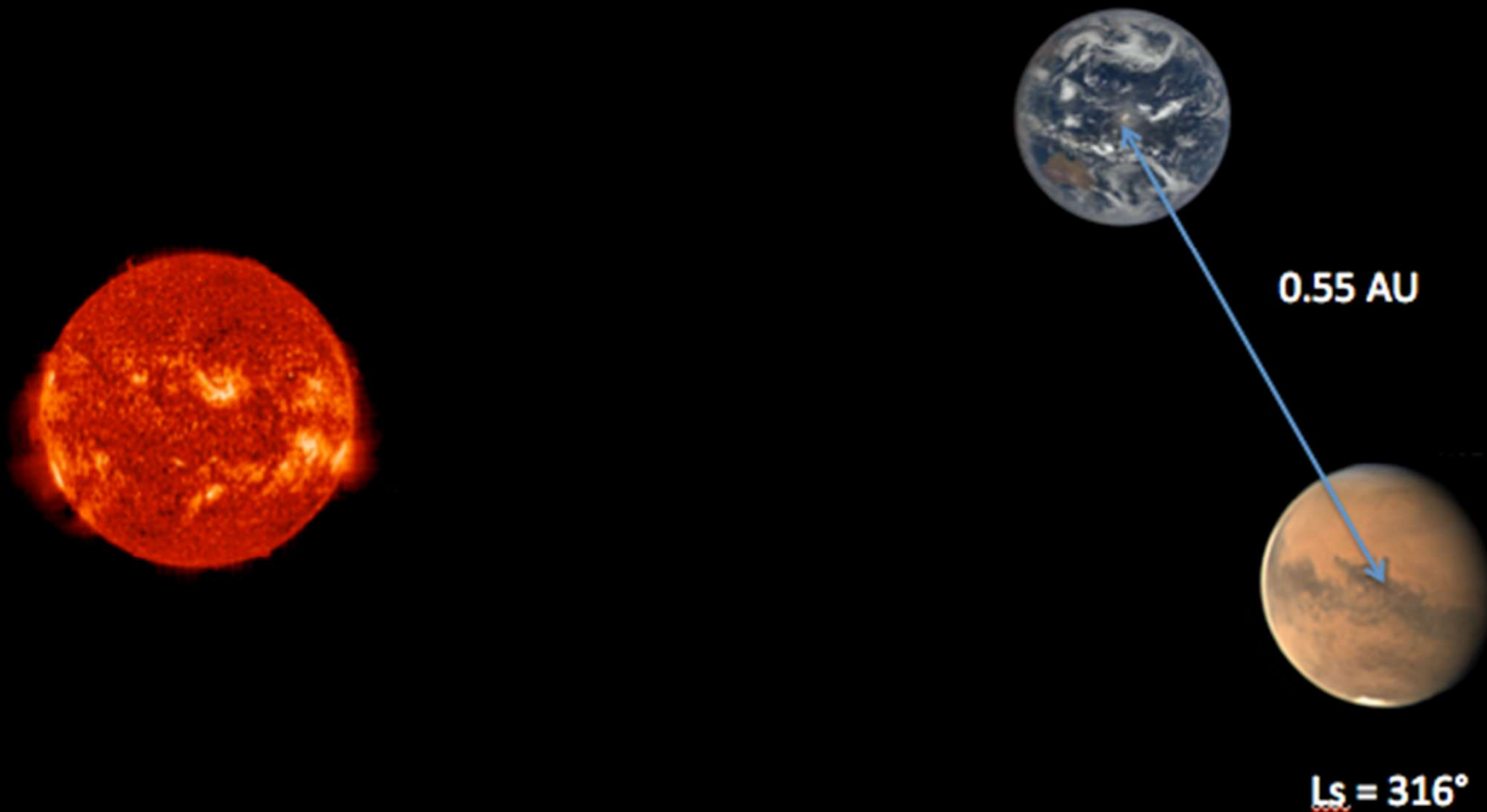
Des aurores martiennes visibles et suffisamment brillantes pour être vues à l'œil nu :

- Bleu (N2+) et vert (O) à 140 km
- Rouge (O) à 160 km

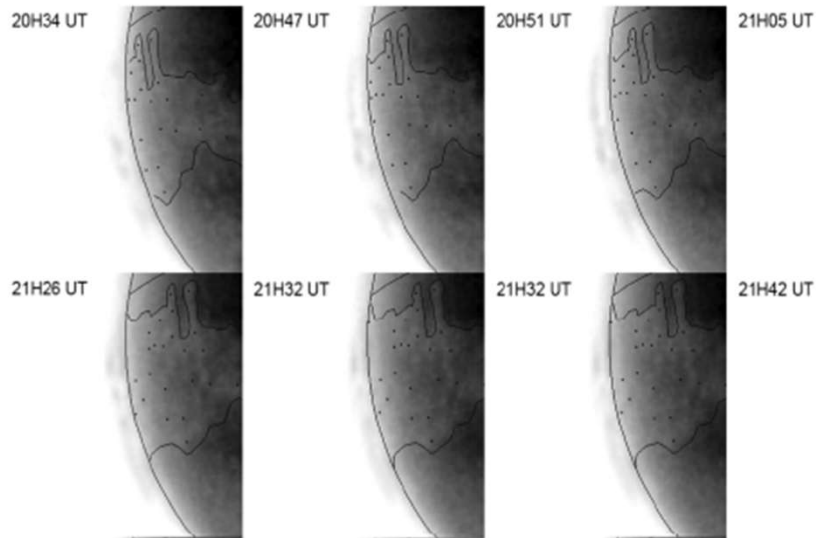
Les émissions bleues à 412 nm et 434 nm sont dues aux bandes Fox-Duffendack-Barker du CO2. Le vert (557,7 nm) et le rouge (630 nm) sont les raies « habituelles » de l'oxygène atomique.

Et Jean-Luc a eu l'idée de les découvrir depuis la Terre  
avec ... vous

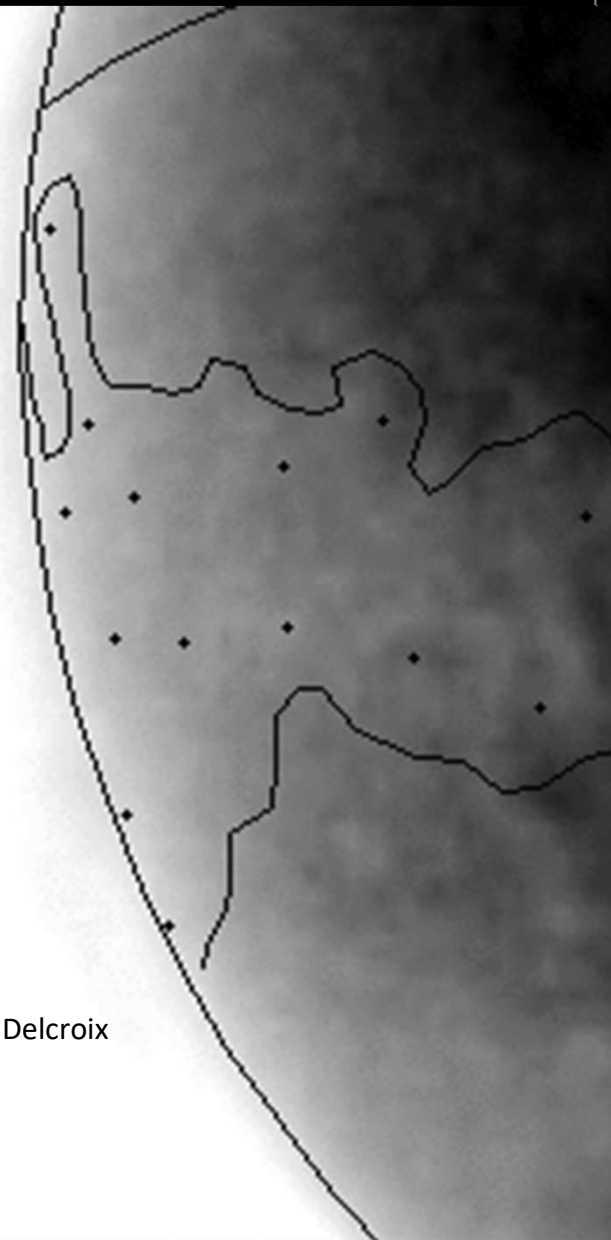
# En tirant partie des oppositions



# Emmanuel Beaudouin et Christophe Pellier détectent indépendamment une structure à très haute altitude émergeant de l'ombre le 17 novembre 2020 (Mars et Terre en quasi-opposition).



19H58 UT



17 novembre 2020

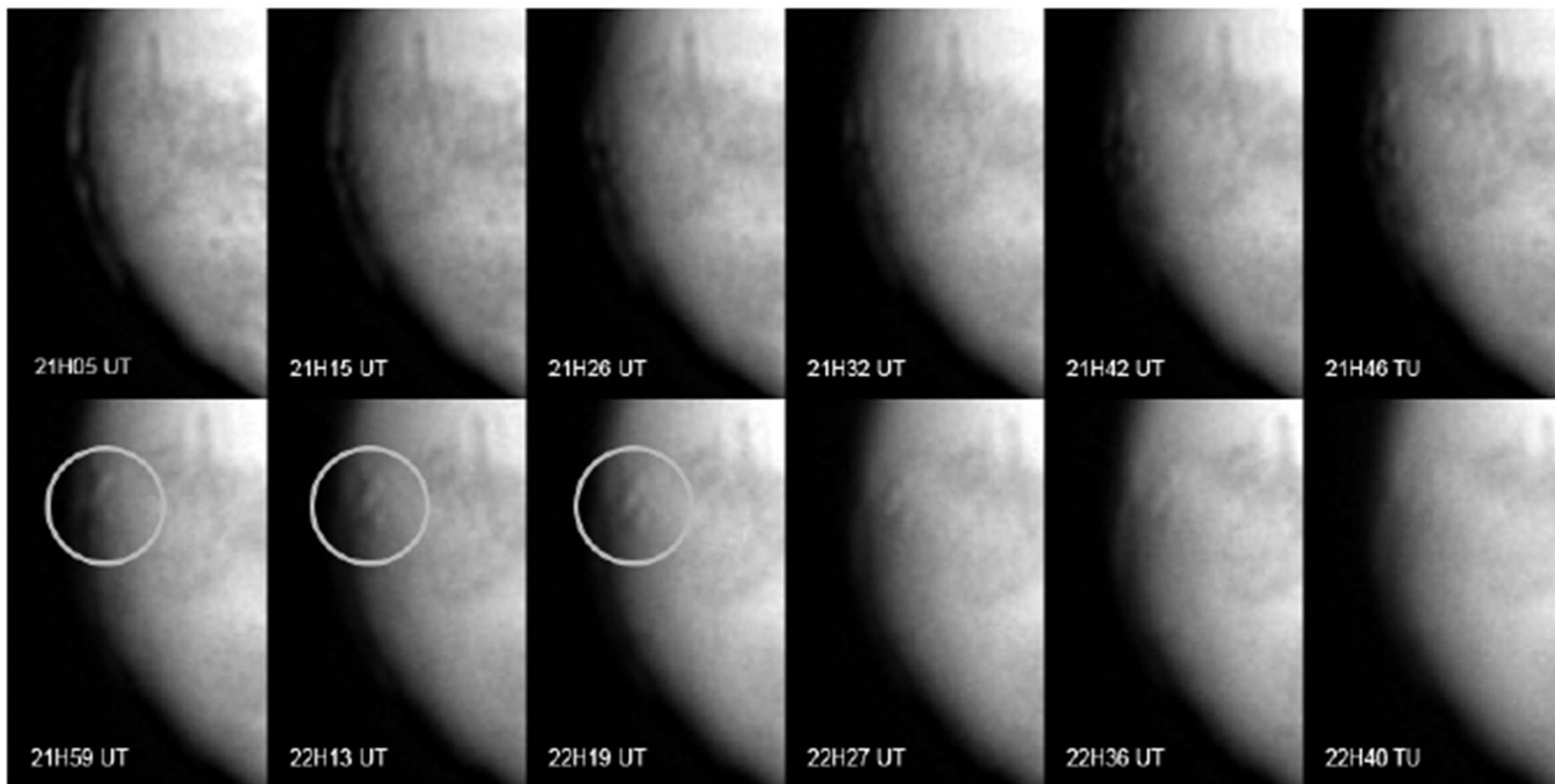
© Emmanuel Beaudouin / Marc Delcroix

G 20H25 UT

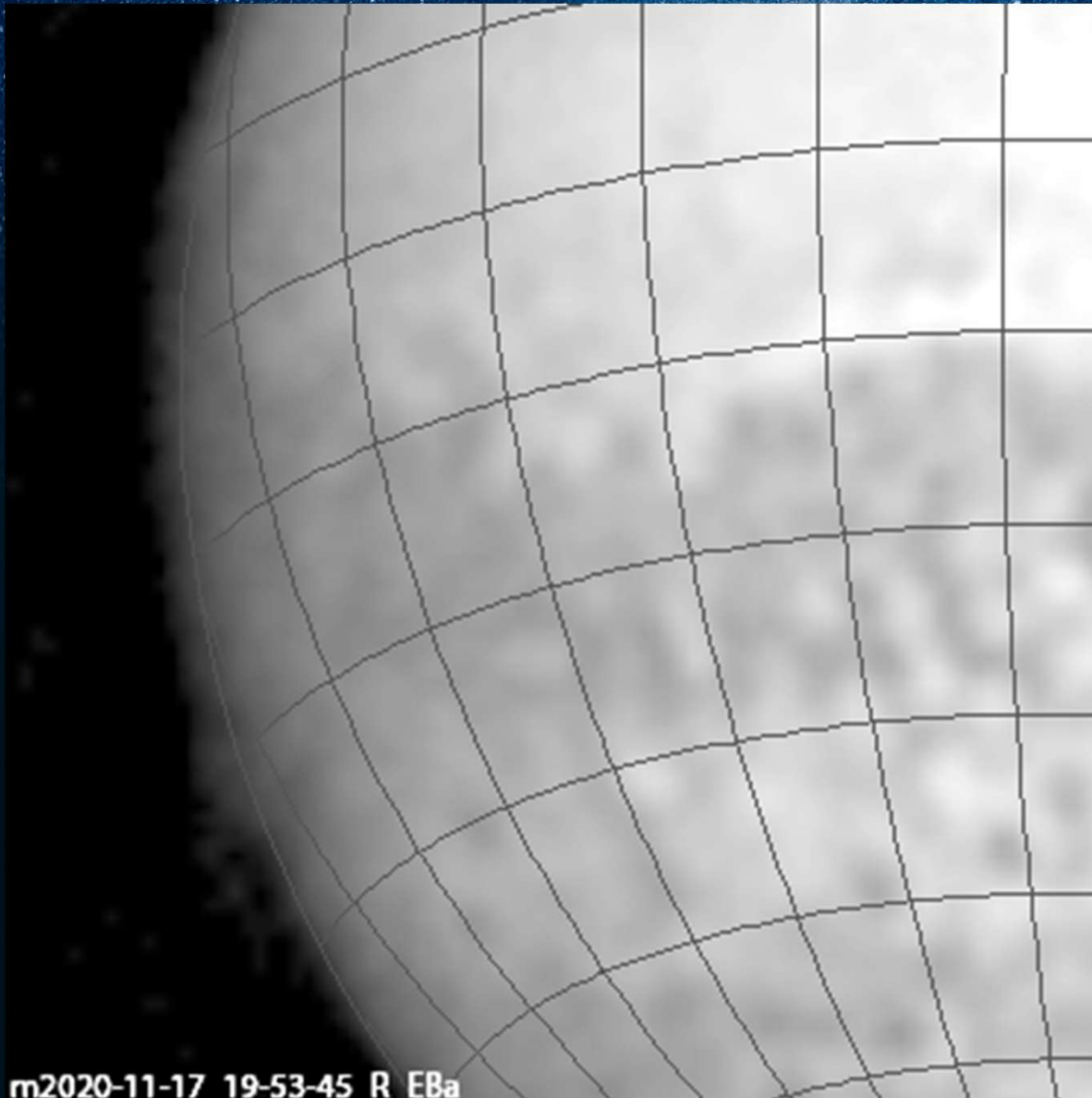


# Le traitement d'image de Marc montre que cette structure détachée projette des ombres : Il ne peut s'agir d'une aurore

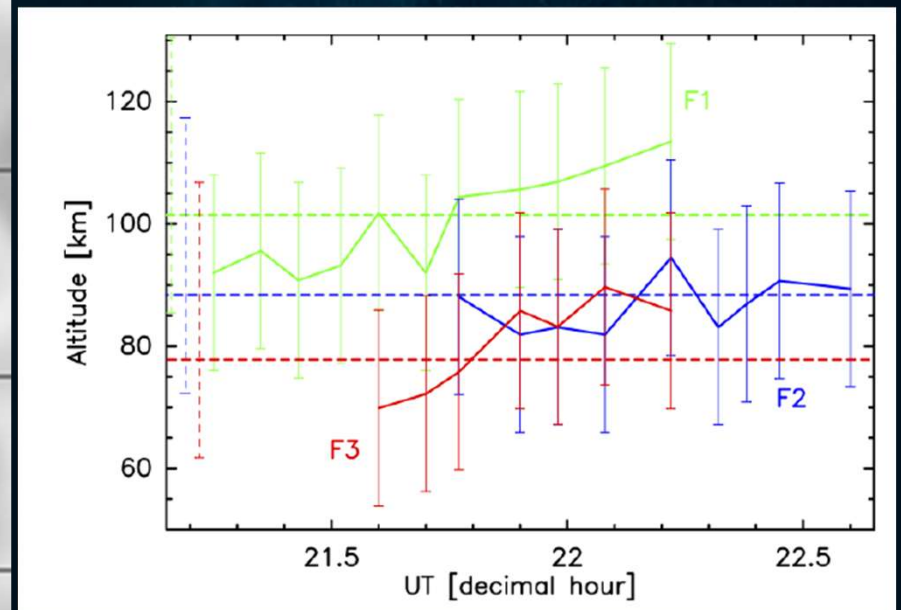
17 novembre 2020  
© Emmanuel Beaudouin / Marc Delcroix



# La mesure des positions en suivant la rotation permet de déduire l'altitude.

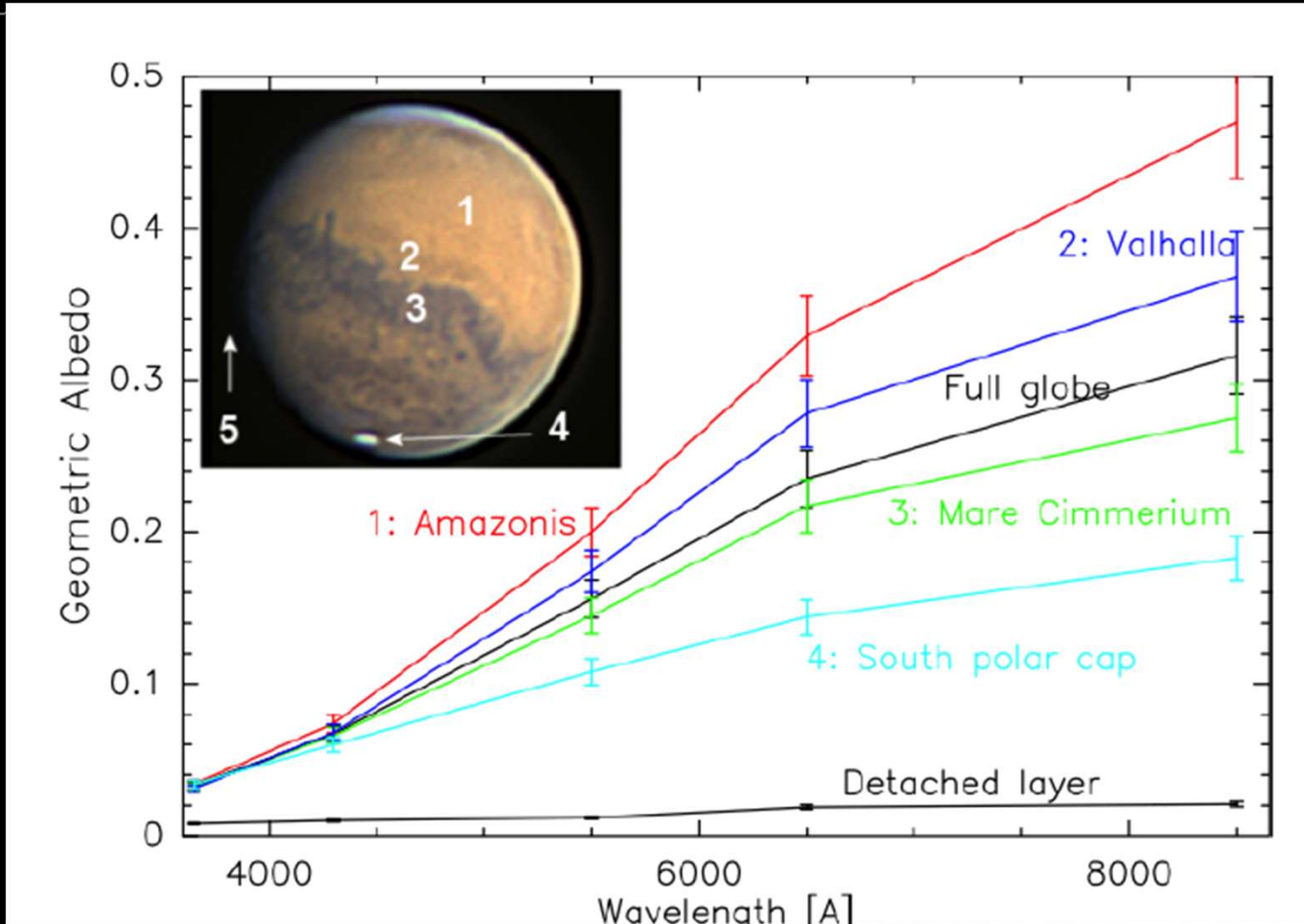


m2020-11-17 19-53-45 R EBa



**Altitude : 92 (-16/+30) km**  
**Taille longitudinale : ~3000 km**

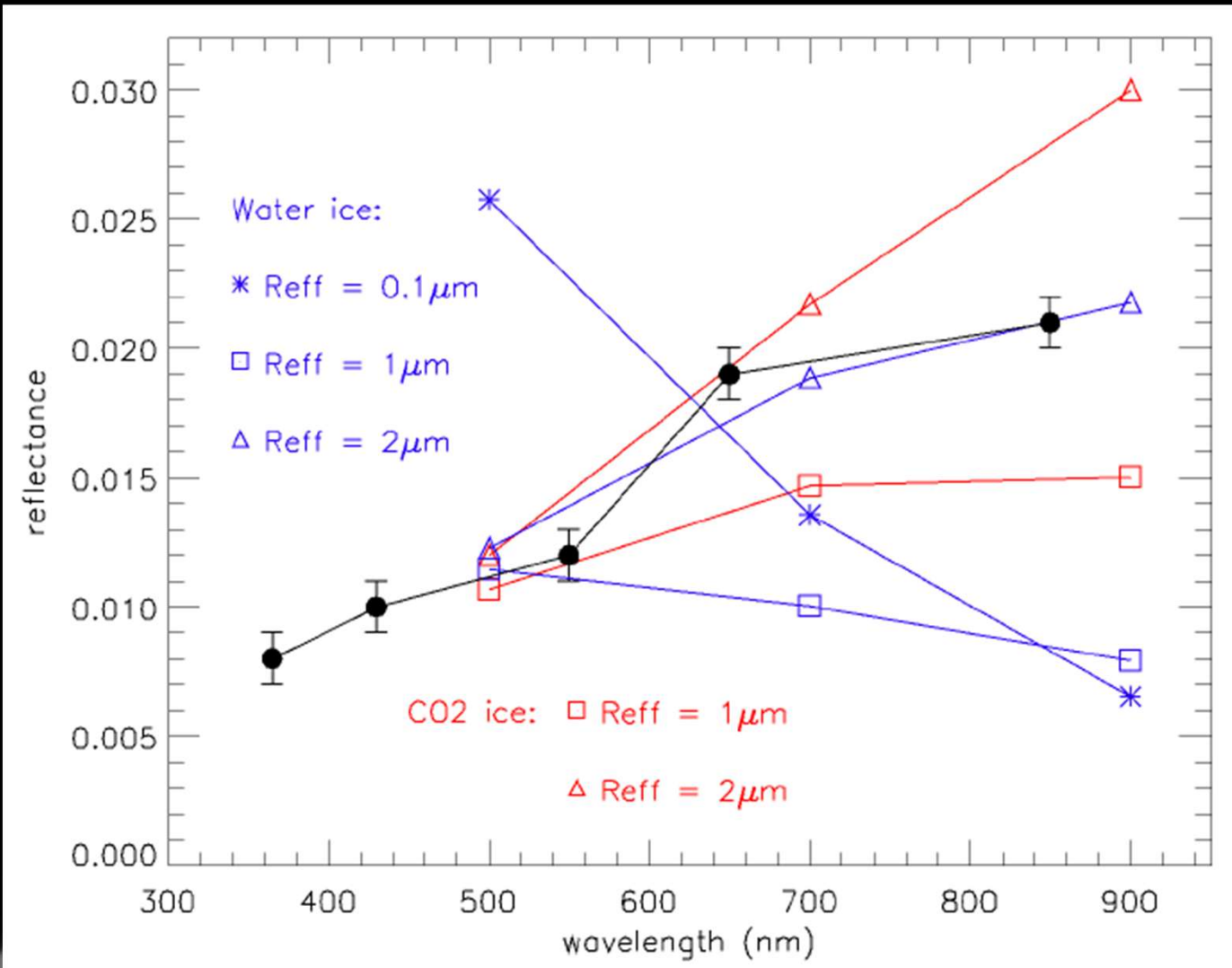
# Photometrie



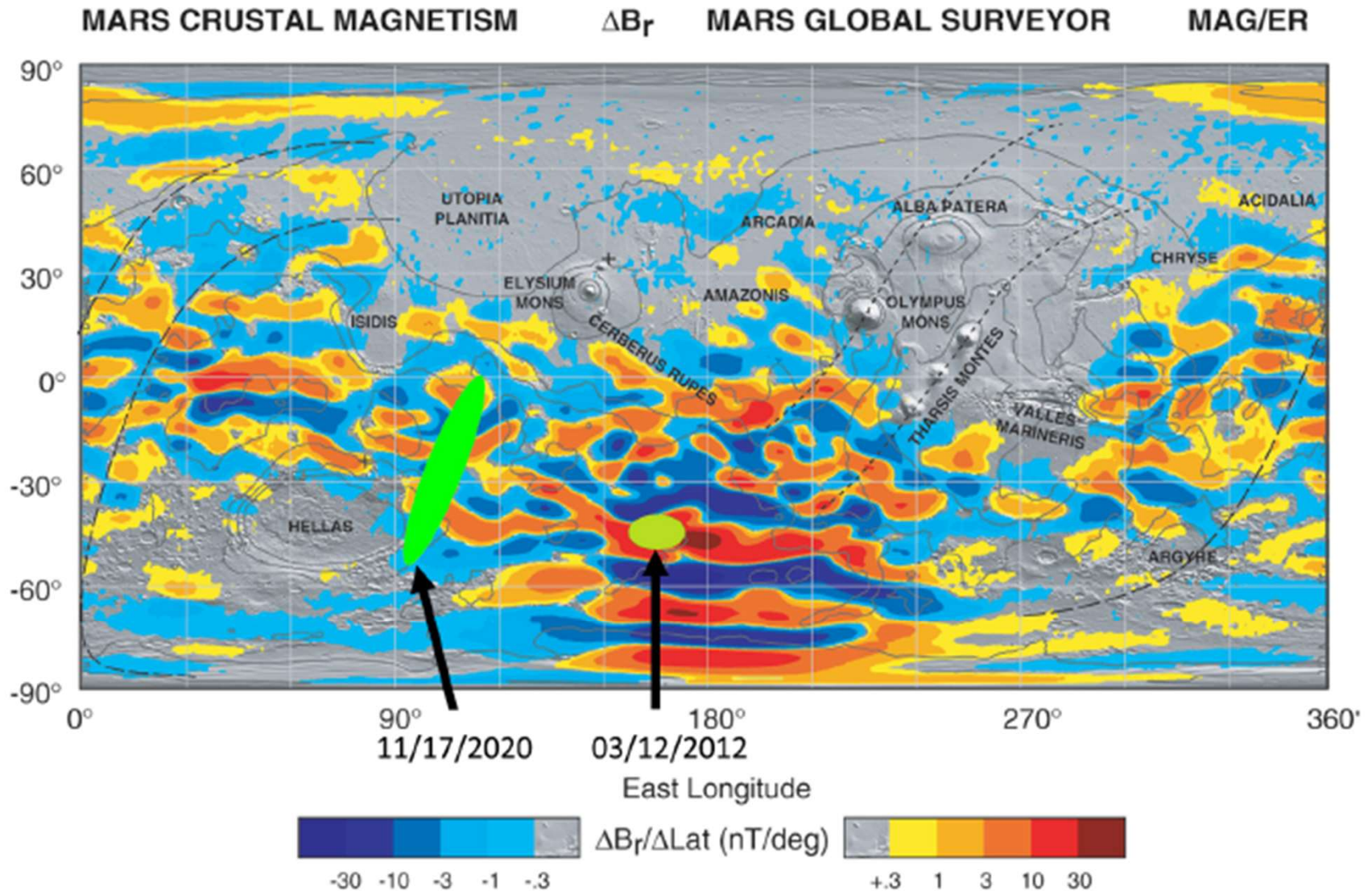
**Le spectre de cette couche détachée est radicalement différent de celui du sol martien.**



# La comparaison avec la modélisation du transfert radiatif montre qu'il s'agit d'un nuage, soit de CO<sub>2</sub>, soit (moins probablement) de H<sub>2</sub>O.



# Localisation par rapport au magnétisme résiduel : une origine cosmique ?



Connerney, J. E. P. et al., (2005) Proc. Natl. Acad. Sci. USA, 102, No. 42, 14970-14975.

R1590\_1pub

## Observation from Earth of an atypical cloud system in the upper Martian atmosphere<sup>\*</sup>

J. Liliensten<sup>1</sup>, J. L. Dauvergne<sup>2</sup>, C. Pellier<sup>3</sup>, M. Delcroix<sup>3</sup>, E. Beaudoin<sup>4</sup>, M. Vincendon<sup>5</sup>, E. Kraaikamp<sup>6</sup>,  
G. Bertrand<sup>3</sup>, C. Foster<sup>7</sup>, C. Go<sup>8</sup>, E. Kardasis<sup>9</sup>, A. Pace<sup>10</sup>, D. Peach<sup>11</sup>, A. Wesley<sup>12</sup>, E. Samara<sup>6,13</sup>,  
S. Poedts<sup>13,15</sup>, and F. Colas<sup>14</sup>

<sup>1</sup> Univ. Grenoble-Alpes, CNRS, IPAG, 38000 Grenoble, France  
e-mail: [jean.liliensten@univ-grenoble-alpes.fr](mailto:jean.liliensten@univ-grenoble-alpes.fr)

<sup>2</sup> Société de Planétologie des Pyrénées (S2P), 5 rue Gazan, 75014 Paris, France

<sup>3</sup> Commission des Observations planétaires, Société Astronomique de France, 3 rue Beethoven, 75016 Paris, France  
e-mail: [chrisspellier@sfr.fr](mailto:chrisspellier@sfr.fr)

<sup>4</sup> Université Paris-Saclay, LPS (UMR8502), 510 rue André Rivière, 91400 Orsay, France  
e-mail: [emmanuel.beaudoin@universite-paris-saclay.fr](mailto:emmanuel.beaudoin@universite-paris-saclay.fr)

<sup>5</sup> Institut d'Astrophysique Spatiale, Université Paris-Saclay, Orsay, France

<sup>6</sup> Royal Observatory of Belgium, Avenue Circulaire 3, 1180 Brussels, Belgium

<sup>7</sup> Astronomical Society of Southern Africa, Centurion, South Africa

<sup>8</sup> University of San Carlos - Physics Department, Nasipit, Talamban, Cebu City, Philippines

<sup>9</sup> Hellenic Amateur Astronomy Association, Alopekis 42, 10676 Athens, Greece

<sup>10</sup> Canopus Observatory, Ir-Rabat, Malta

<sup>11</sup> British Astronomical Association, Burlington House, Piccadilly, London W1J 0DU, UK

<sup>12</sup> Astronomical Society of Australia, PO Box 145 Rubyvale QLD 4702, Australia

<sup>13</sup> Dept. Mathematics/Centre for mathematical Plasma Astrophysics Celestijnenlaan 200B, 3001 Leuven, Belgium

<sup>14</sup> IMCCE, Observatoire de Paris, PSL Research University, CNRS UMR 8028, Sorbonne Université, 77 avenue Denfert-Rochereau,  
75014 Paris, France


<sup>15</sup> Institute of Physics, University of Maria Curie-Pl. M. Curie-Sklodowska 5, 20-031 Lublin, Poland

Received 7 July 2021 / Accepted 14 February 2022

### ABSTRACT

*Context.* The atmosphere of Mars is characterised by a complex seasonal cycle of cloud formation related to the condensation of CO<sub>2</sub> and H<sub>2</sub>O, and to the lifting of surface dust. Several decades of spacecraft observations have provided an impressive amount of data to

- Nuage atypique de glace d'eau ou (plus probablement) de dioxyde de carbone,
- d'une extension de 3000 km
- Influence possible des rayons cosmiques
- Indétectable (jusqu'à présent) par les missions spatiales actuelles sur Mars



# 2022 ...

C'est pourquoi l'idée est d'augmenter considérablement le nombre d'observateurs. Plus de 100. Dispersés sur toute la Terre. En collaboration.

Prochaine opposition : 16 janvier  
2025.

Les meilleures périodes pour ces  
observations de maintenant à  
fin février.

Contribuez à découvrir les aurores martiennes dans le bleu (412nm et 434nm), le rouge (630 nm), le vert (557.7 nm) et à mieux caractériser ces nuages !! Une observation n'est validée que si au moins 2 observateurs indépendants la font.



Inscrivez-vous auprès de moi et joignez-vous à l'effort :  
**[Jean.lilensten@univ-grenoble-alpes.fr](mailto:Jean.lilensten@univ-grenoble-alpes.fr)**



# La course est lancée

**Title:** First detection of the green 557.7 nm oxygen aurora on Mars

**Authors:** E. W. Knutsen<sup>1</sup>, T. H. McConnochie<sup>2</sup>, M. Lemmon<sup>2</sup>, L. Tamppari<sup>3</sup>, S. Viet<sup>9</sup>, A. Cousin<sup>5</sup>, R. C. Wiens<sup>6</sup>, R. Francis<sup>3</sup>, C. Donaldson<sup>7</sup>, J. Lasue<sup>5</sup>, O. Forni<sup>5</sup>, P. Patel<sup>8</sup>, N. Schneider<sup>9</sup>, D. T. Carrasco<sup>10</sup>, V. A. Palacio<sup>10</sup>

- <sup>1</sup>University of Oslo, Institute for Technology Systems, CENSSS, Norway
- <sup>2</sup>Space Science Institute, Boulder, CO, USA
- <sup>3</sup>Jet Propulsion Laboratory, California Institute of Technology, Pasadena, CA, USA
- <sup>4</sup>Norwegian University of Science and Technology, Institute of Physics
- <sup>5</sup>IRAP - Institut de recherche en astrophysique et cosmologie, France
- <sup>6</sup>Purdue University, West Lafayette, IN, USA
- <sup>7</sup>Malin Space Science Systems, USA
- <sup>8</sup>(Priya)
- <sup>9</sup>Laboratory for Atmospheric and Space Physics, University of Colorado CO, USA
- <sup>10</sup>Instituto Nacional De Técnica Aeroespacial (INTA), Spain

Breaking news!!!!

Harada et al. *Earth, Planets and Space* (2024) 76:64  
https://doi.org/10.1186/s40623-024-02010-x

Earth, Planets and Space

EXPRESS LETTER

Open Access

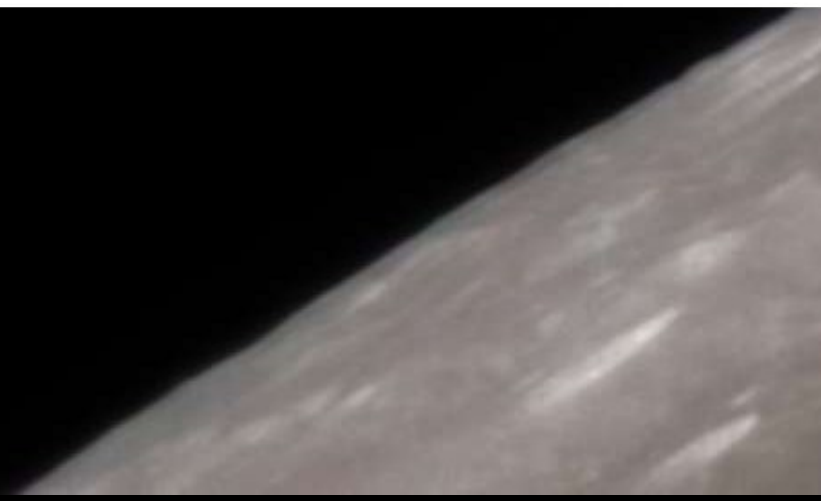


## Discrete aurora and the nightside ionosphere of Mars: an EMM–MEX conjunction of FUV imaging, ionospheric radar sounding, and suprathermal electron measurements

Yuki Harada<sup>1\*</sup>, Yuka Fujiwara<sup>1</sup>, Robert J. Lillis<sup>2</sup>, Justin Deighan<sup>3</sup>, Hiromu Nakagawa<sup>4</sup>, Beatriz Sánchez-Cano<sup>5</sup>, Mark Lester<sup>5</sup>, Yoshifumi Futaana<sup>6</sup>, Mats Holmström<sup>6</sup> and Rudy A. Frahm<sup>7</sup>

### Abstract

Since 2021, a new surge in discrete aurora detections at Mars has been observed by the Emirates Mars Ultraviolet Spectrometer (EMUS) onboard the Emirates Mars Mission (EMM) Hope Orbiter as EMUS started to regularly obtain synoptic auroral images with a high sensitivity. Here we report on a fortuitous conjunction between EMM and Mars Express (MEX) using far ultraviolet (FUV) imaging of discrete aurora by EMM EMUS, in situ measurements of suprathermal electrons by the MEX Analyzer of Space Plasma and Energetic Atoms Electron Spectrometer (ELS), and topside radar sounding of the nightside ionosphere by the MEX Mars Advanced Radar for Subsurface and Ionosphere Sounding (MARSIS). In this event, EMM EMUS imaged a clear discrete aurora signature around moderately strong crustal magnetic fields on the nightside near the dusk terminator, 11 min before which MEX MARSIS measured a prominent local enhancement of the peak electron density in the nightside ionosphere and MEX ELS observed an in situ enhancement of suprathermal electrons at the corresponding location. A remarkable geographic agreement is found between the enhancements of the aurora, ionosphere, and suprathermal electrons, suggesting that the enhanced ionization and auroral emission are caused concurrently by precipitating suprathermal electrons. Subsequent images indicate that the discrete aurora slightly changed its shape in 15 min and mostly disappeared in a few hours. The MEX MARSIS measurements of the auroral ionosphere display overlapping ionospheric and surface echoes indicative of horizontal gradients of the peak electron density. Analysis of the overlapping echoes implies that the auroral ionosphere and electron precipitation could be highly structured with horizontal spatial scales on the order of several tens of km. MEX MARSIS also observed a non-auroral ionospheric enhancement with a wider spatial extent than the local auroral enhancement, suggesting alternative sources of the enhanced nightside ionosphere such as plasma trans-





- Christophe : Nantes (France,  $+47^{\circ} 12$  N,  $1^{\circ}33$  W) 305mm (12") f/5 Newtonian telescope altazimuth mont, camera ASI290MM monochrom and ASI224MC colour CMOS, 5 à 100 ms
- Emmanuel : Palaiseau (France,  $+48^{\circ}7$  N,  $2^{\circ}23$ E) 356 mm (Celestron 14) Schmidt-Cassegrain mont Astrophysics 900, camera ASI290MM, 2.5 à 8 ms

# Traquer les aurores

A photograph showing the reddish-orange planet Mars in the dark sky above the grey, cratered horizon of the Moon's surface. The text "Emmanuel Beaudoin" is overlaid in white on the image.

Emmanuel Beaudoin

# Mars, opposition de 2020

14/09

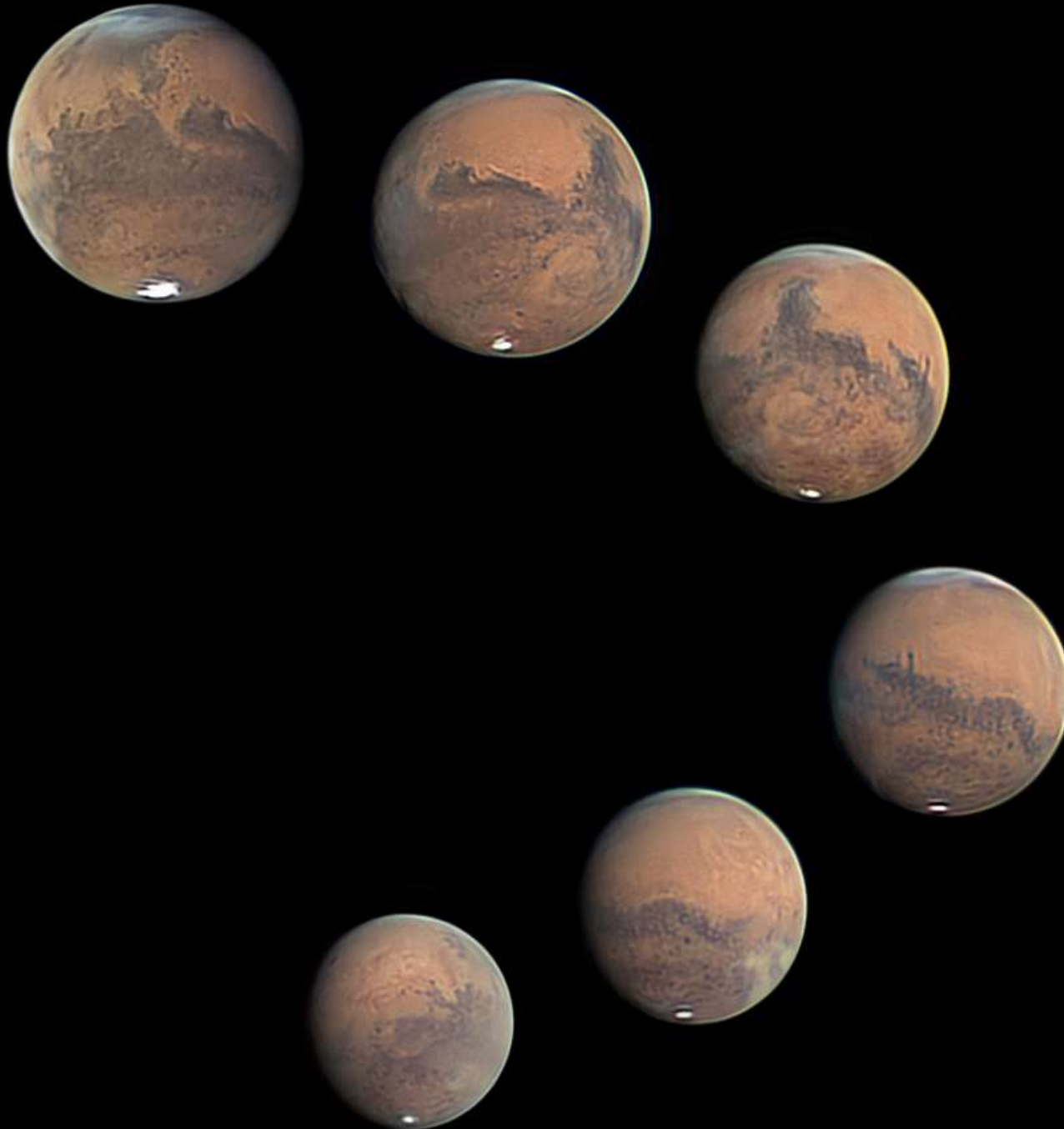


25/11



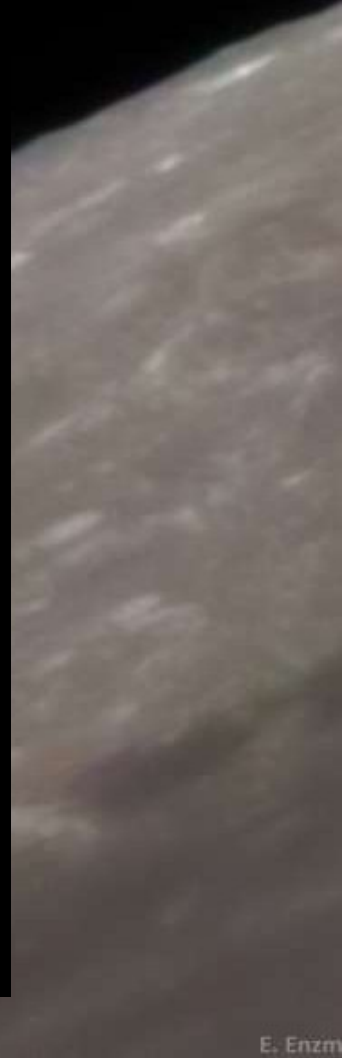
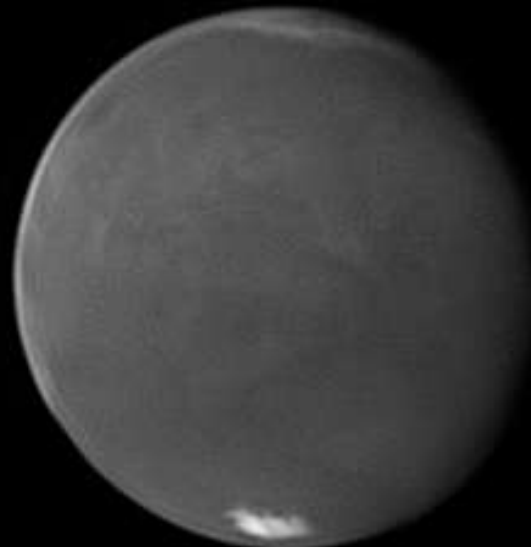
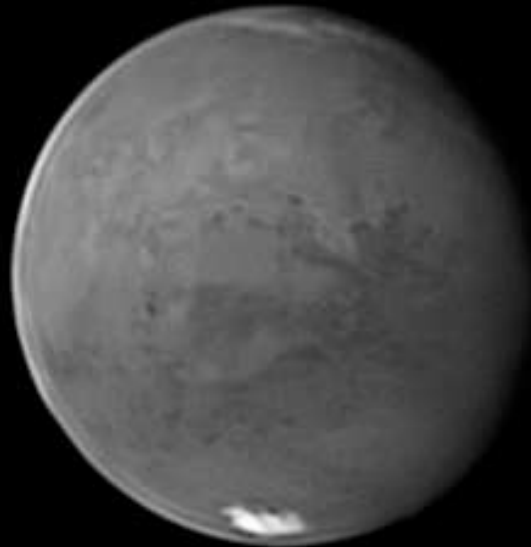
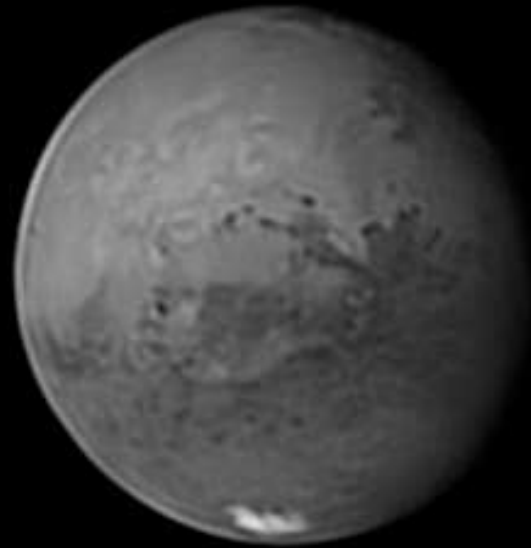
SEPTEMBER 6th, 2020  
05:08:12 UTC

# Mars, opposition de 2020



SEPTEMBER 6th, 2020  
05:08:12 UTC

# Photo planétaire en RGB

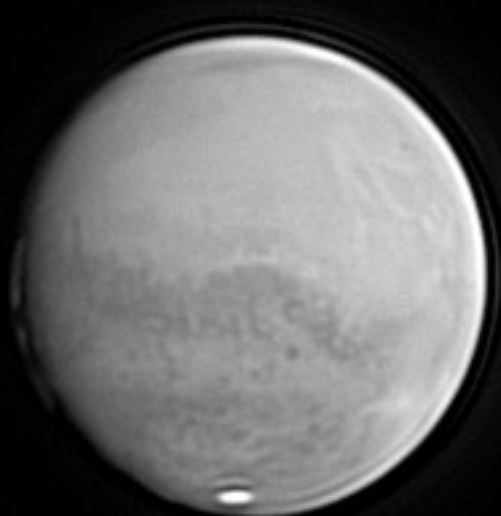


SEPTEMBER 6th, 2020

05:08:12 UTC

# Notre nuage-aurore de novembre 2020

G 20H25 UT



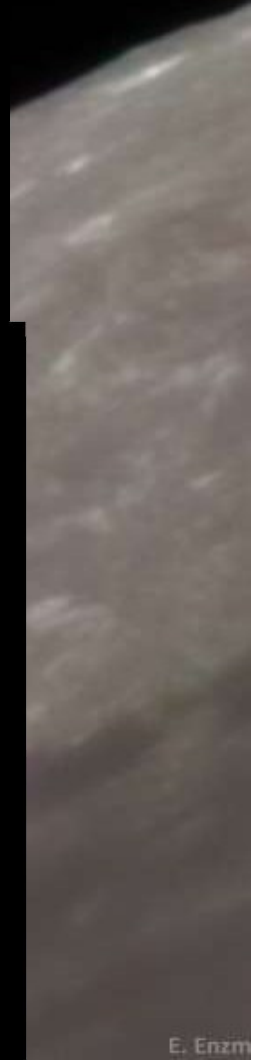
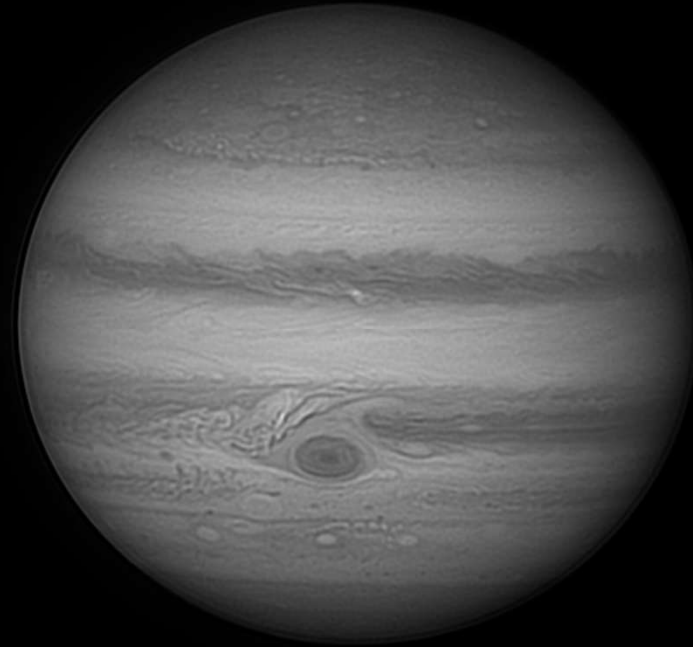
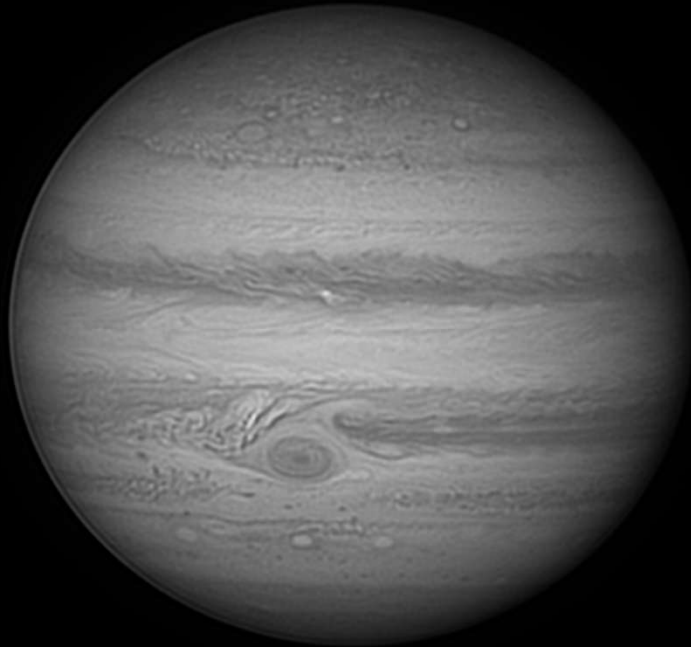
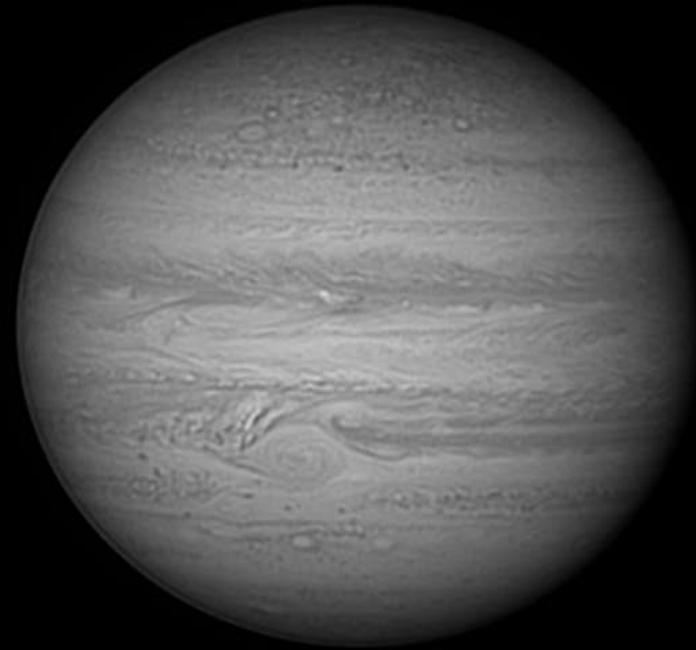
# Site d'observation à mon université



SEPTEMBER 6th, 2020

05:08:12 UTC

# En attendant Mars





# Les aurores bleues



SpaceWeatherLive



## L'indice Kp i



Plus de données ▾

? Aide ▾

⤴ Prévisions de l'indice Kp

## Prévisions de l'indice Kp

	Min.	Max.
vendredi	<span>Kp2</span>	<span>Kp5</span>
samedi	<span>Kp2</span>	<span>Kp5</span>
dimanche	<span>Kp2-</span>	<span>Kp3</span>

## Vent solaire en temps réel i

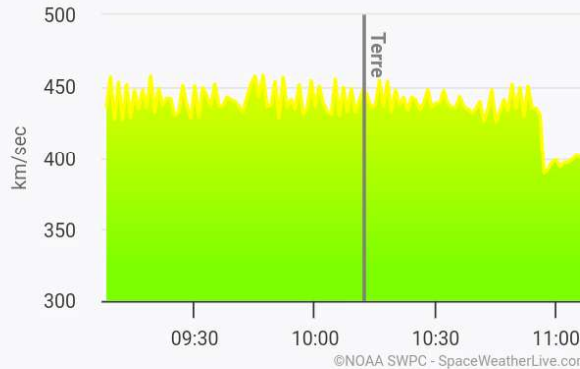
A la vitesse actuelle, le vent solaire prendra **62 minutes** pour se propager de DSCOVR à la Terre.



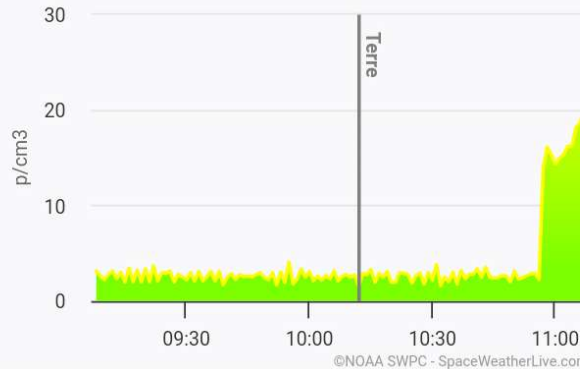
SpaceWeatherLive



## Vent solaire Vitesse: 402.2 km/sec



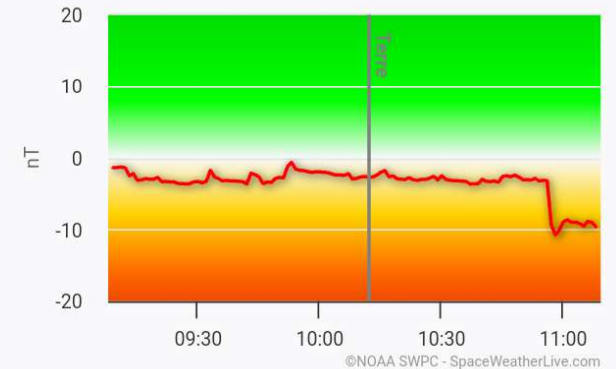
## Densité: 19.69 p/cm<sup>3</sup>



## Champ Magnétique Interplanétaire Bt: 11.68 nT



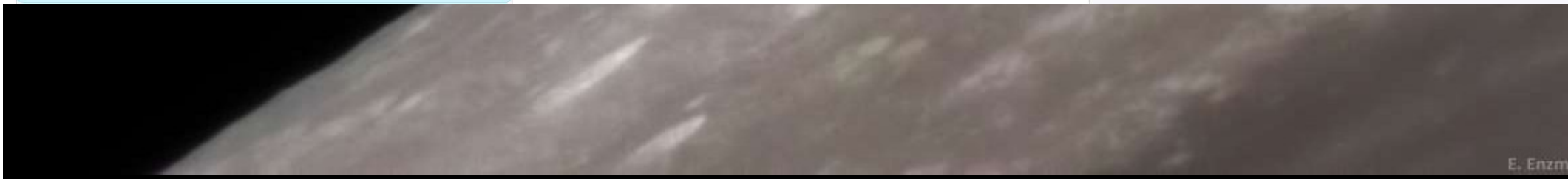
## Bz: -9.64 nT Sud



i Info

Plus de données

? Aide ▾



# Nuit du 24-25 septembre 2023



Vers 1h du matin

# L'aurore bleue



B 2H06 UT



B 2H12 UT



B 2H15 UT



B 2H18 UT

(contraste couche bleue poussé)

SEPTEMBER 6th, 2020  
05:08:12 UTC

# Pas besoin d'être à haute latitude



SEPTEMBER 6th, 2020  
05:08:12 UTC

# L'aventure continue !



SEPTEMBER 6th, 2020  
05:08:12 UTC

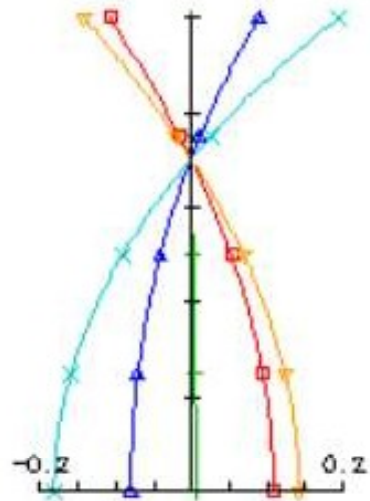


6-inch f/2.4/10 SCT

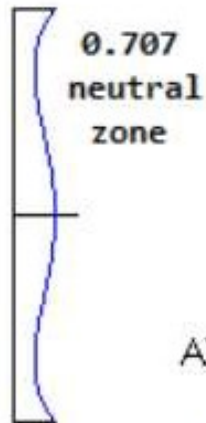
1/4 wave p-v  
overcorrected

perfect

LONGITUDINAL  
SPHERICAL ABER. (mm)



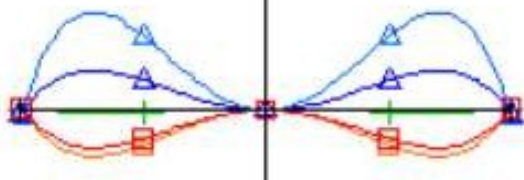
0.486 0.436  
 +    △    □    ×    ▽  
 0.546 0.656 0.707



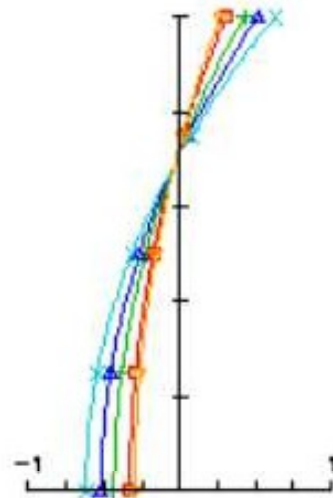
P-V OPD

AXIS

0.25 waves



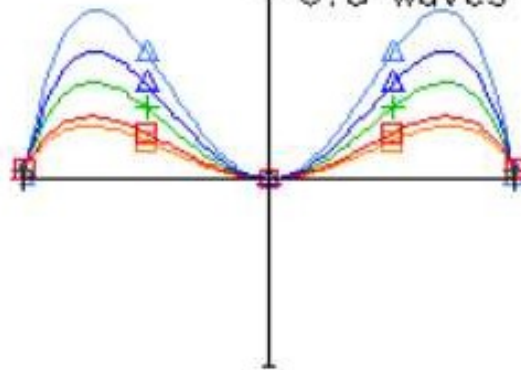
LONGITUDINAL  
SPHERICAL ABER. (mm)



P-V OPD

AXIS

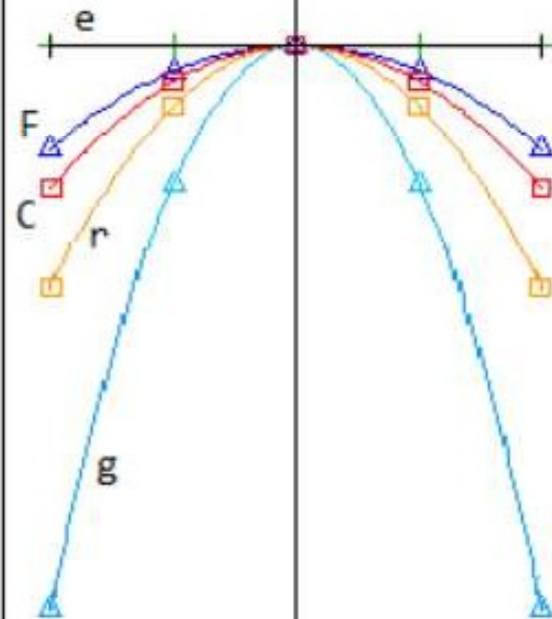
0.5 waves



100mm f/36 achromat

AXIS

0.5 waves



2 waves

